

Elastische vs. inelastische Streuung

Elastische Streuprozesse mit vorgegebener Energie der Elektronen (E) ist mit **einem** Parameter beschrieben, z.B. Streuwinkel θ , $-q^2 = Q^2$, E' , ...

$$\nu = E - E'$$

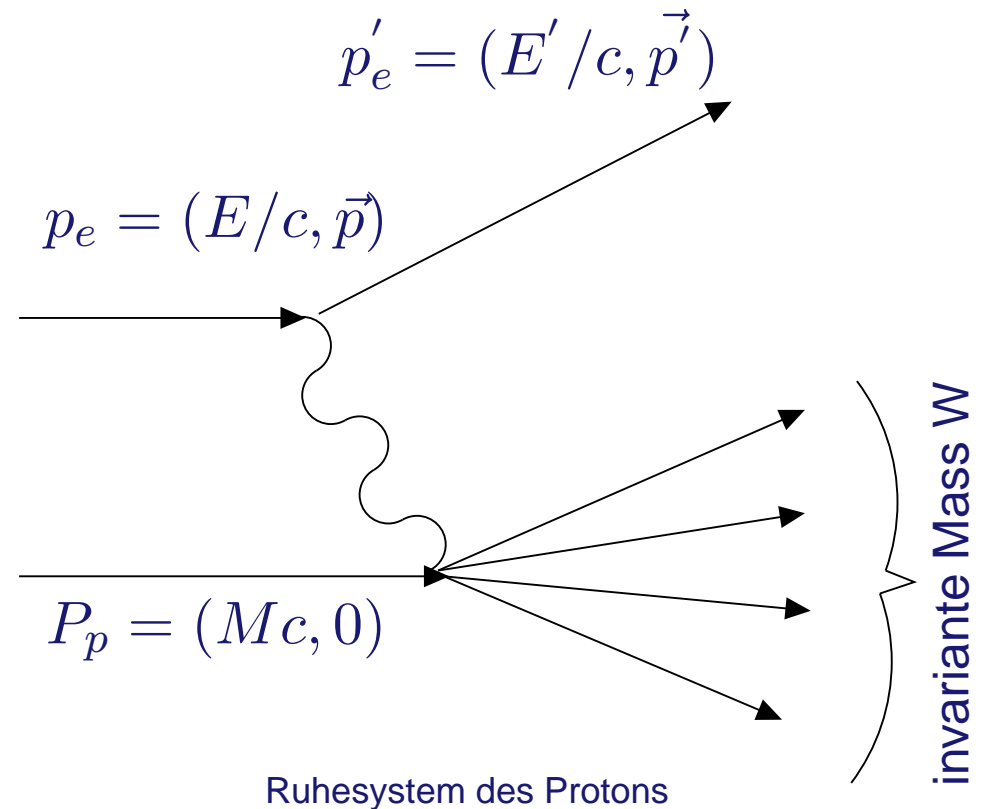
$$\text{invariante Masse } W = (P_p + q)^2$$

Bjorken Skalierungsvariable $x_B = \frac{Q^2}{2M\nu}$ ist

Mass für Inelastizität der Streuung

$x_B = 1$ für elastische Streuung;

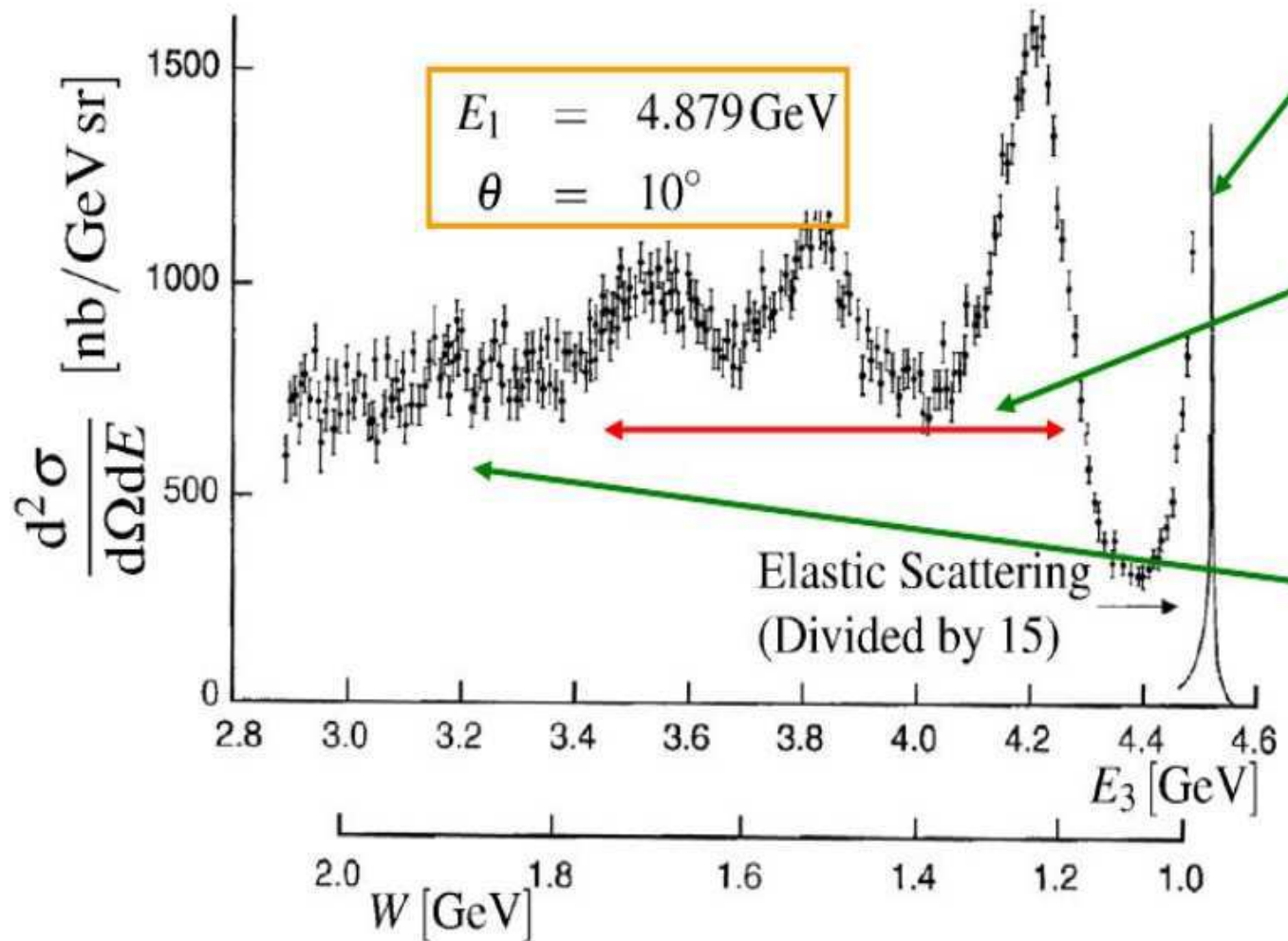
$0 < x_B < 1$ für inelastische Streuung;



Zur Beschreibung inelastischer Streuprozesse werden **zwei** Parameter benötigt

z.B. (θ, E') , (Q^2, ν) , (Q^2, x_B) , ...

Inelastische Streuung



(hier: $E_3 = E'$)

Elastische Streuung:

$$\left(\frac{d\sigma}{d\Omega}\right)_{\text{Rosenbluth}} = \left(\frac{d\sigma}{d\Omega}\right)_{\text{Mott}} \left(\frac{E'}{E}\right) \left[\frac{G_E^2(Q^2) + \tau G_M^2(Q^2)}{1 + \tau} + 2\tau G_M^2(Q^2) \tan^2 \theta/2 \right]$$

Inelastische Streuung:

$$\left(\frac{d^2\sigma}{d\Omega dE'}\right) = \left(\frac{d\sigma}{d\Omega}\right)_{\text{Mott}} \left(\frac{E'}{E}\right) [W_2(Q^2, \nu) + 2W_1(Q^2, \nu) \tan^2 \theta/2]$$

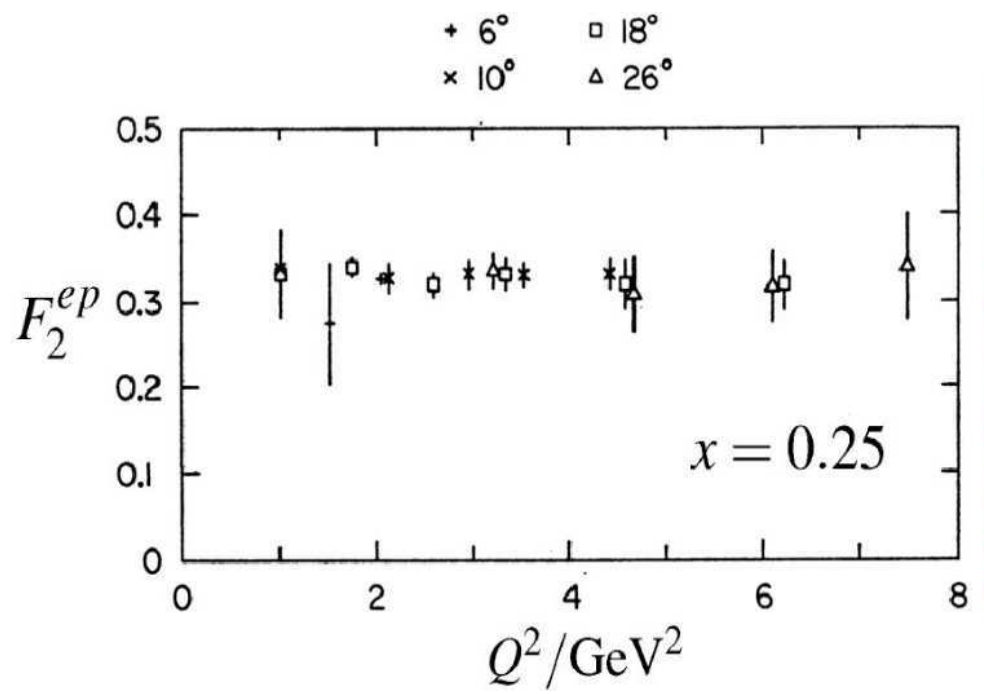
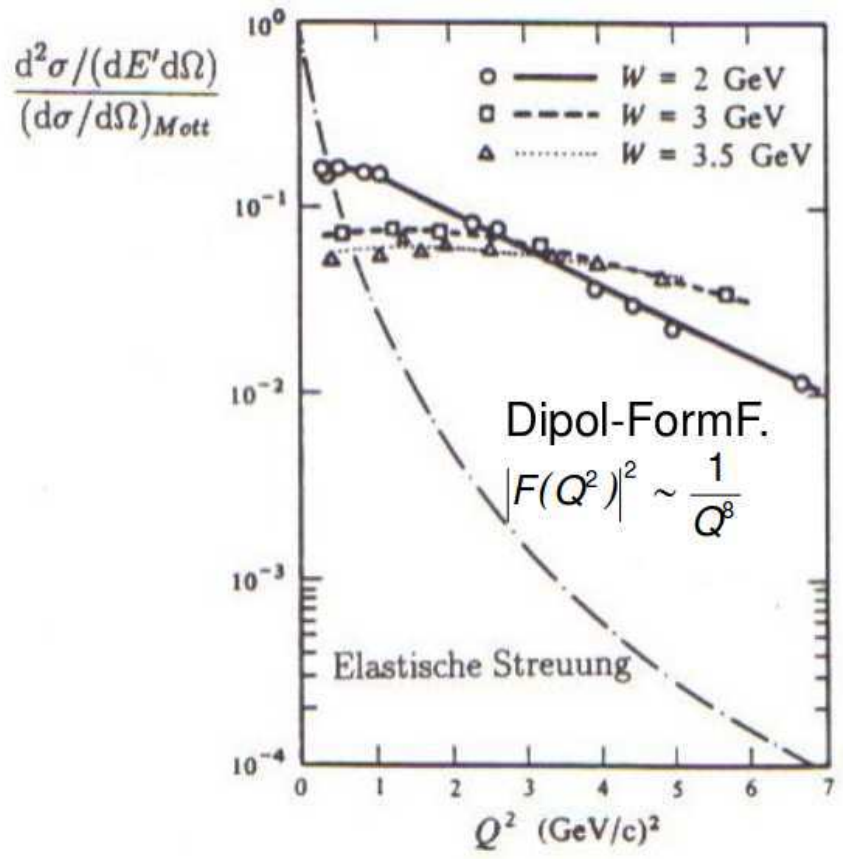
Doppelt differentieller WQ, da WQ von zwei Parametern abhängt

Strukturfunktionen W_1 und W_2 hängen ebenfalls von zwei Parametern ab

Heutzutage werden dimensionslose Strukturfunktionen benutzt:

$$F_1(x_B, Q^2) = Mc^2 W_1(Q^2, \nu) \quad F_2(x_B, Q^2) = \nu W_2(Q^2, \nu)$$

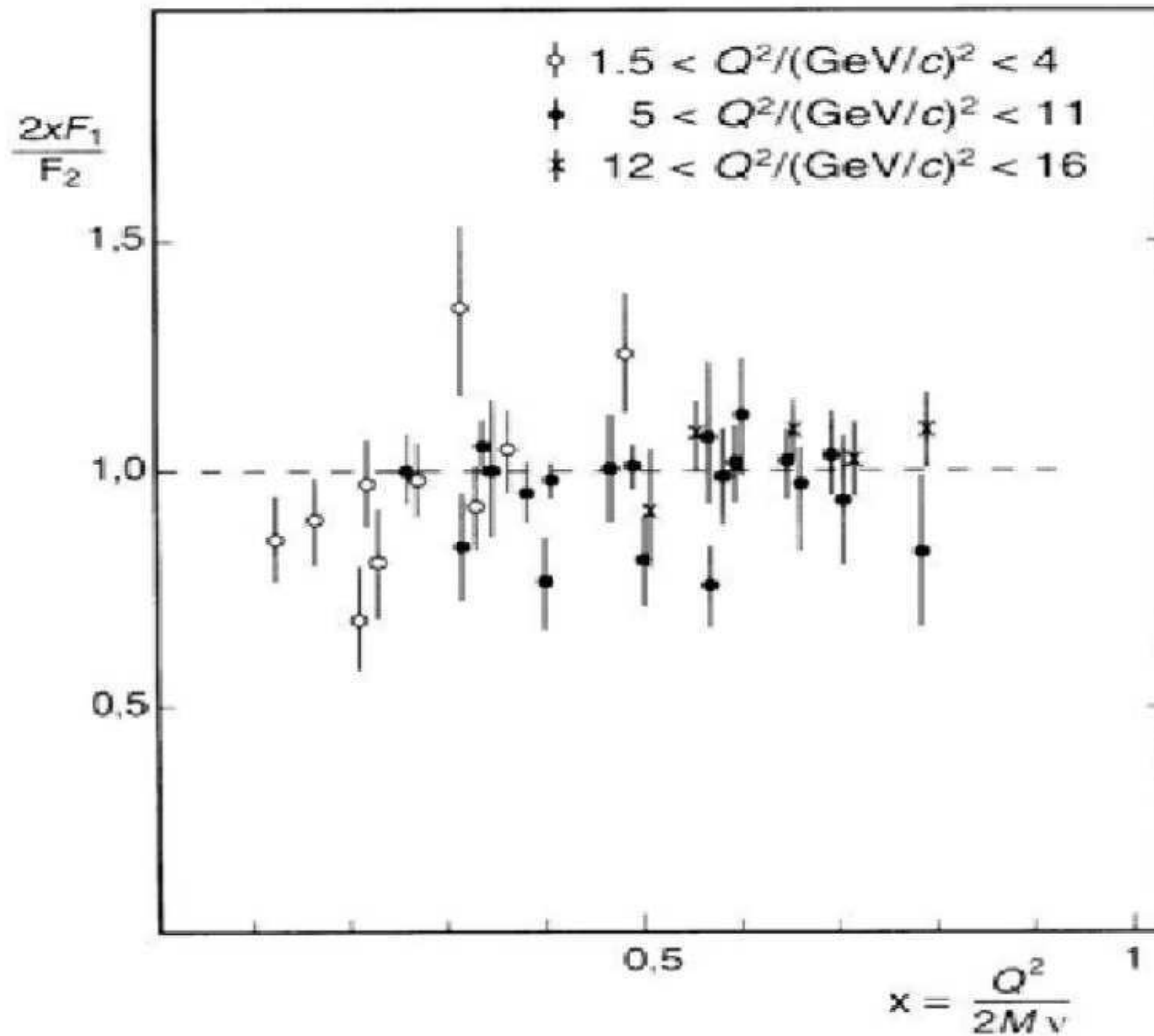
Inelastische Streuung



J.T.Friedman + H.W.Kendall,
 Ann. Rev. Nucl. Sci. 22 (1972) 203

Beobachtung von Friedmann, Kendall, Taylor (Nobelpreis 1996)1:
 Die Formfaktoren haben nur eine sehr schwache Abhängigkeit von Q^2 (oder dem Winkel) für festes W bzw. festes x !

Gallen-Cross-Beziehung



Partons have Spin=1/2!

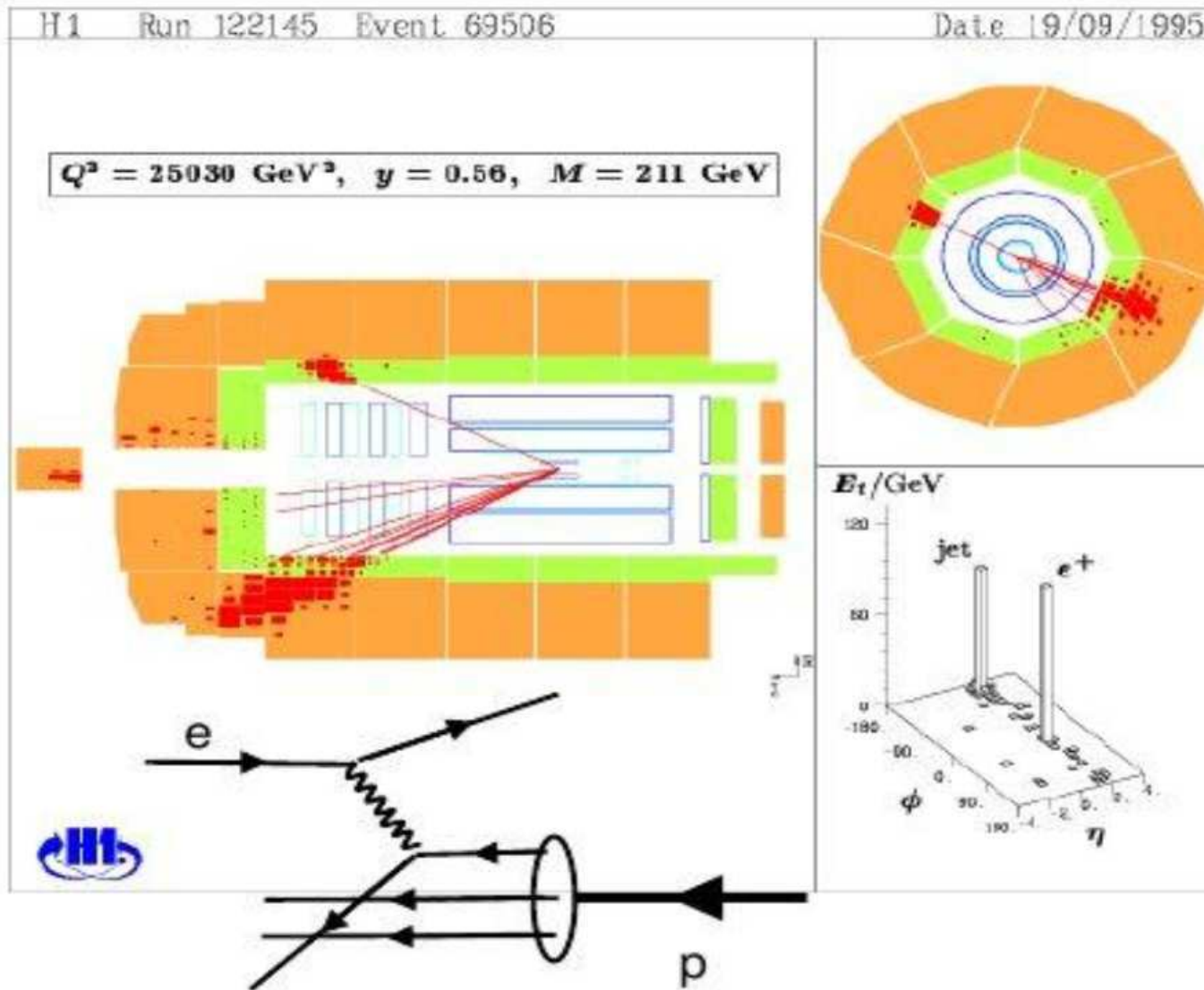
HERA at DESY



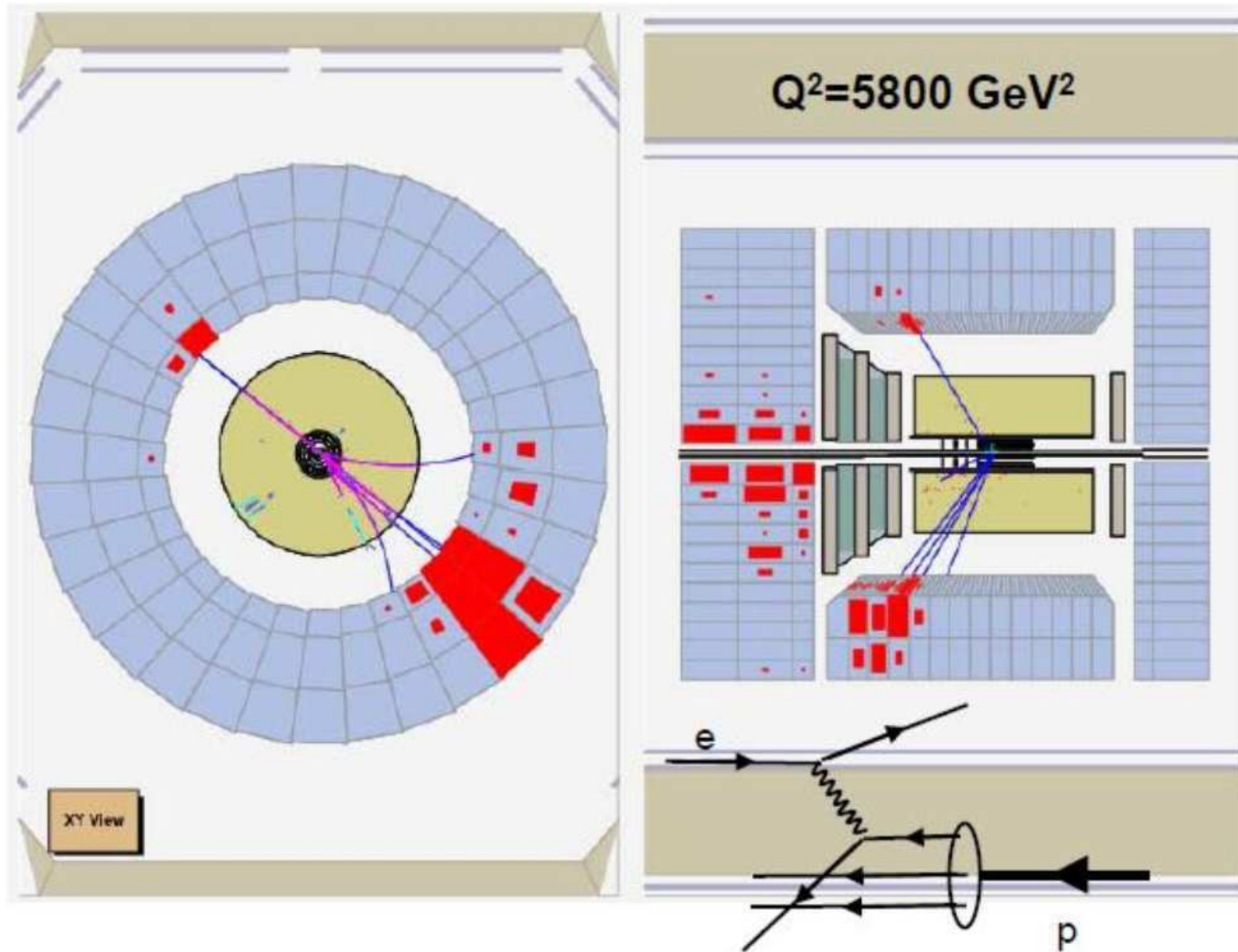
stopped data taking in 2006, experiments: ZEUS, H1

Elektron-Position Kollisionen: $E(\text{Elektron}) = 27.5 \text{ GeV}$ $E(\text{Protonen}) = 920 \text{ GeV}$

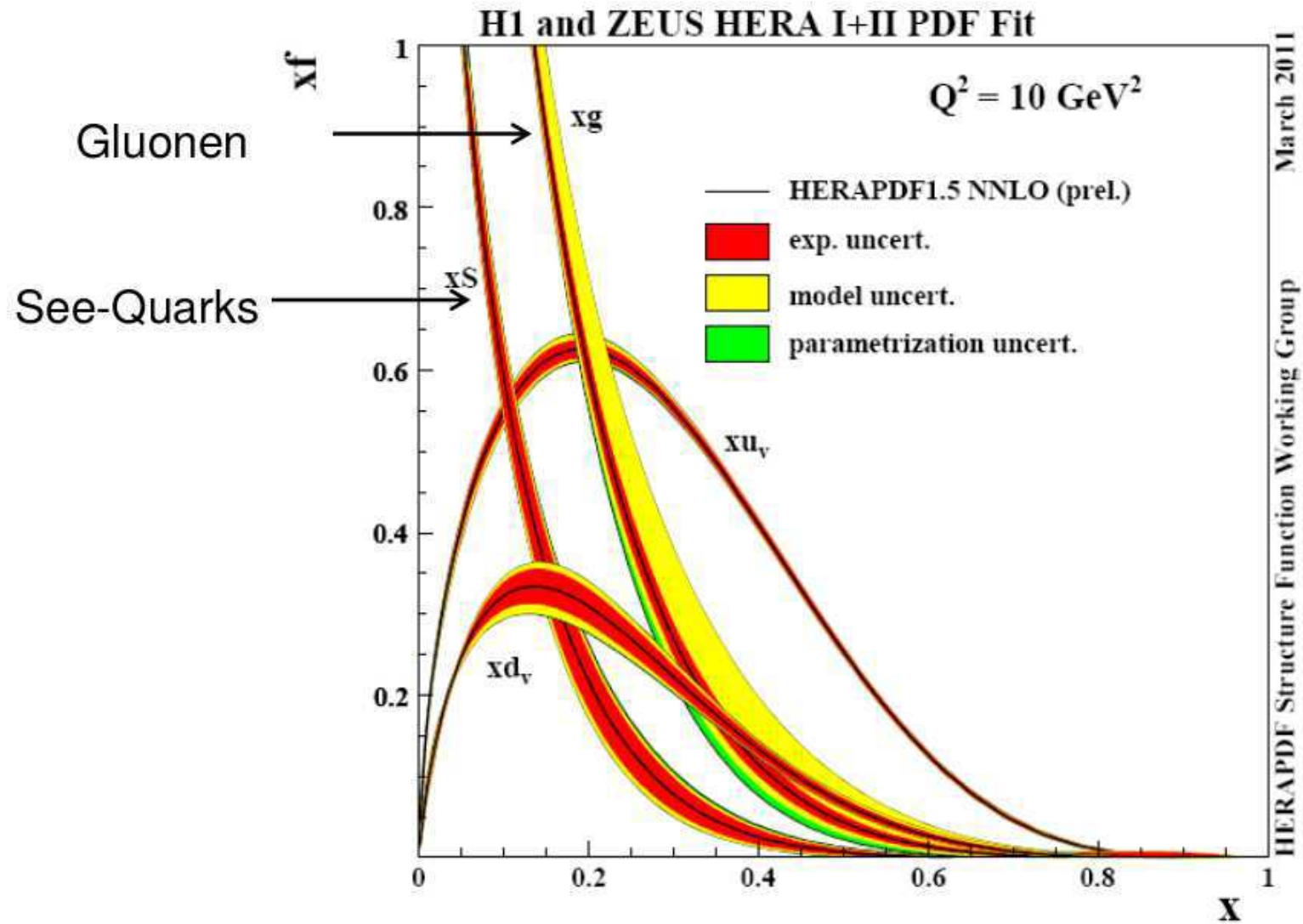
Ereignis im H1 Experiment



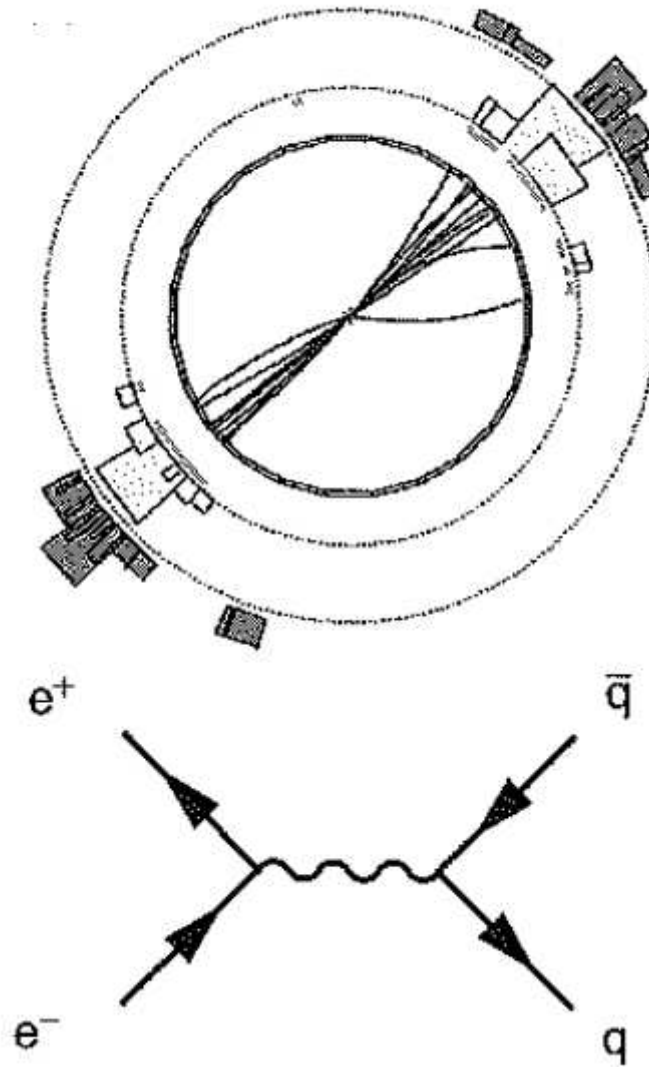
Ereignis im Zeus Experiment



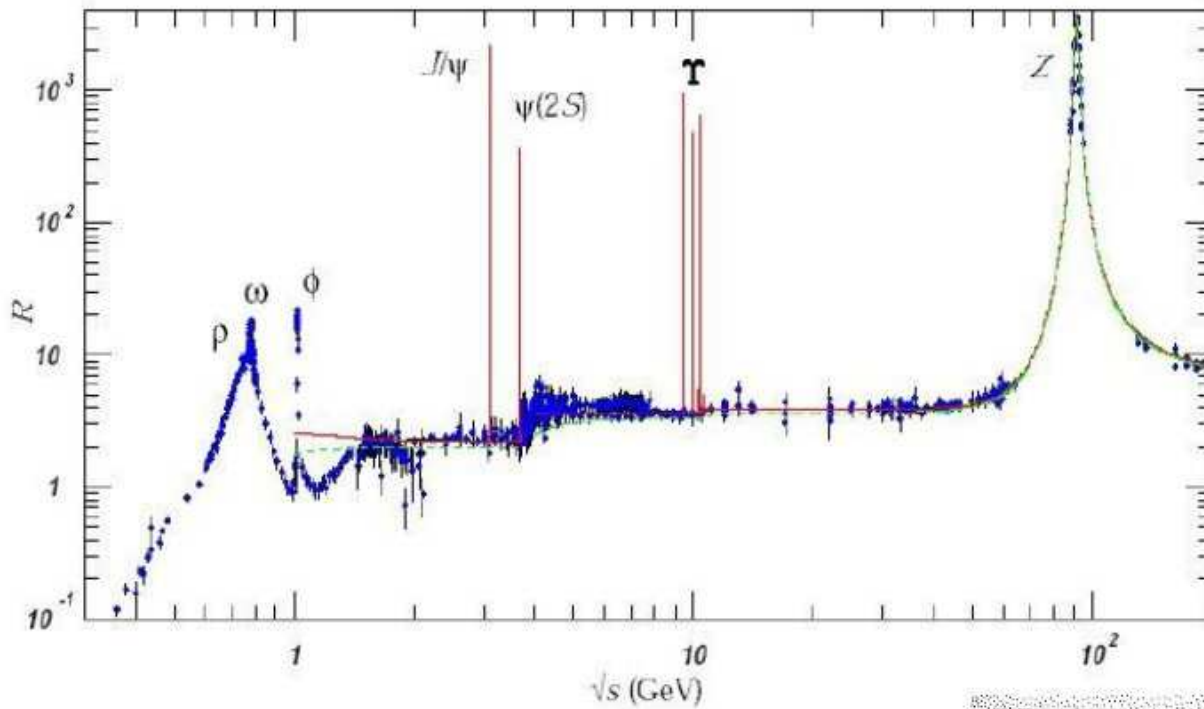
Parton-Dichte-Verteilungen



$e^+e^- \rightarrow q\bar{q}$ Ereignis



Die beiden Quarks bilden Jets („Bündel von Teilchen“) im Detektor



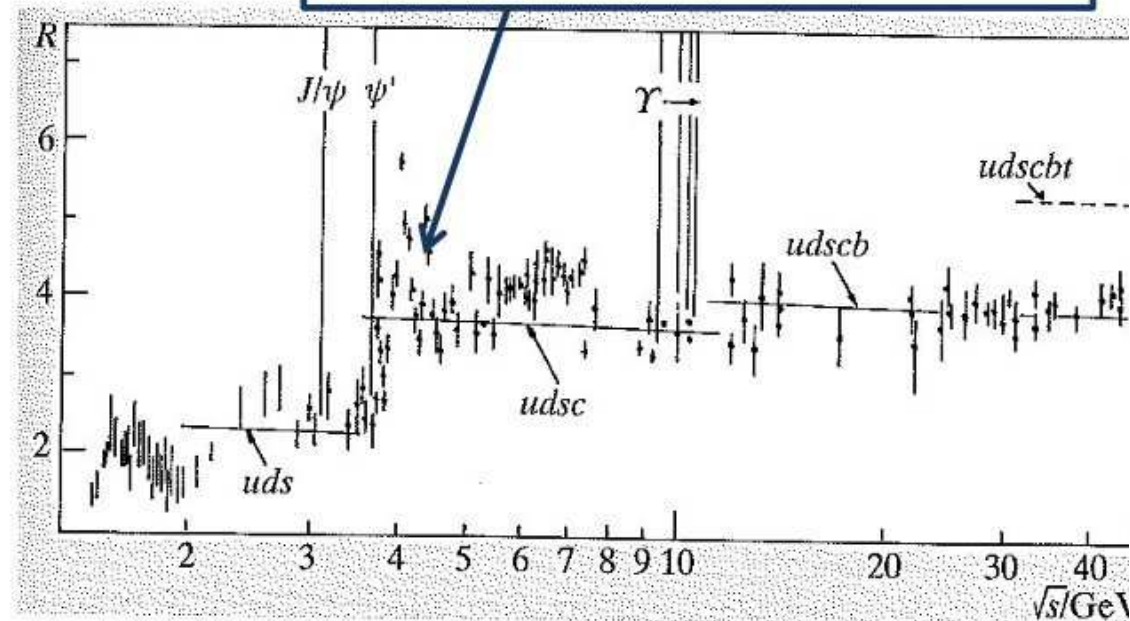
$$R = \frac{\sigma(e^+e^- \rightarrow \text{hadrons})}{\sigma(e^+e^- \rightarrow \mu^+\mu^-)}$$

$$= N_c \sum_i Z_i^2$$

$\tau\bar{\tau}$ threshold, however not all τ decay into hadronic jets

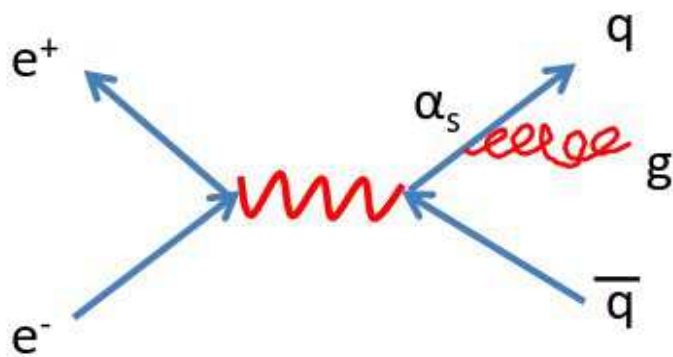
q	Z_i^2	$R[\sqrt{s} \leq 2m(q)]$
u	4/9	4/3
d	1/9	5/3
s	1/9	2
c	4/9	10/3
b	1/9	11/3
t	4/9	5

$N_c=3$ „more or less“ confirmed by data!



Discovery of the Gluon

discovery of 3-jet events by Tasso collaboration in 1977 at PETRA ($\sqrt{s} \sim 20 \text{ GeV}$)



Interpreted as quark anti-quark pair which emits an additional hard gluon.

$$\frac{\# \text{ of three jet events}}{\# \text{ of two jet events}} \sim 0.15$$

➔ α_s is large!

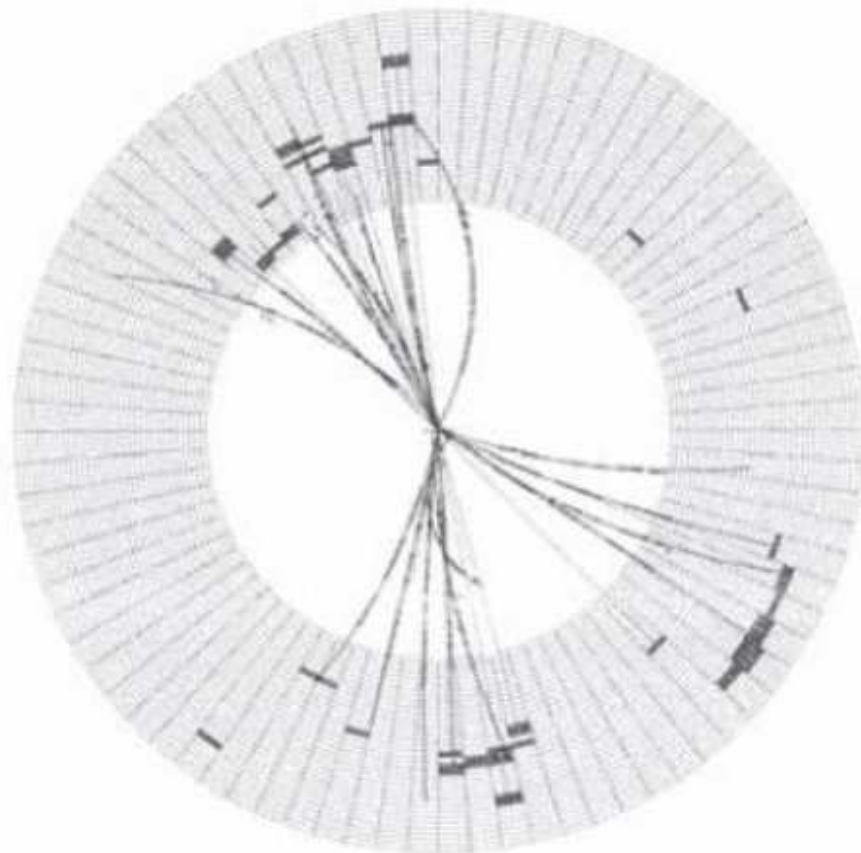
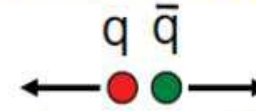


Fig. 11.12 A three-jet event observed by the JADE detector at PETRA.

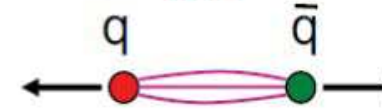
Hadronisierung, Bildung von Jets

★ Consider a quark and anti-quark produced in electron positron annihilation

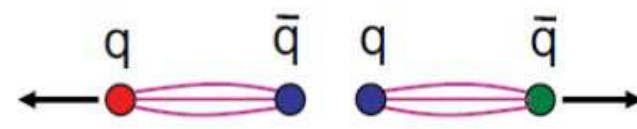
i) Initially Quarks separate at high velocity



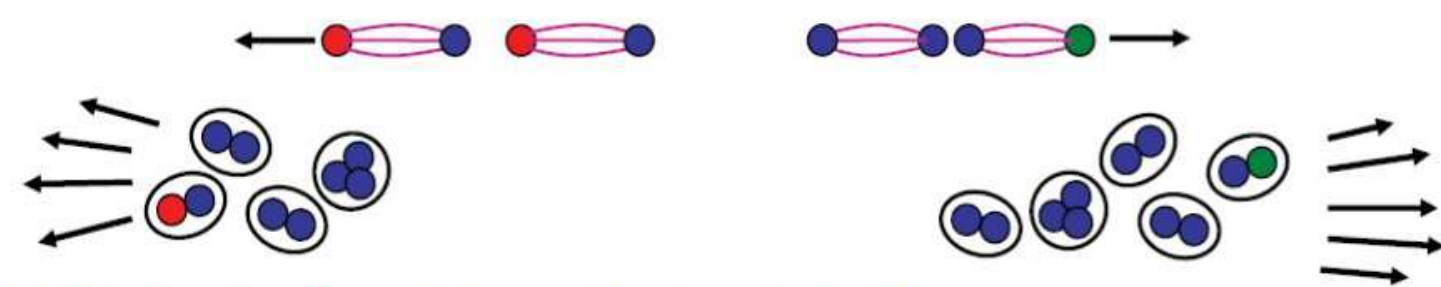
ii) Colour flux tube forms between quarks



iii) Energy stored in the flux tube sufficient to produce $q\bar{q}$ pairs

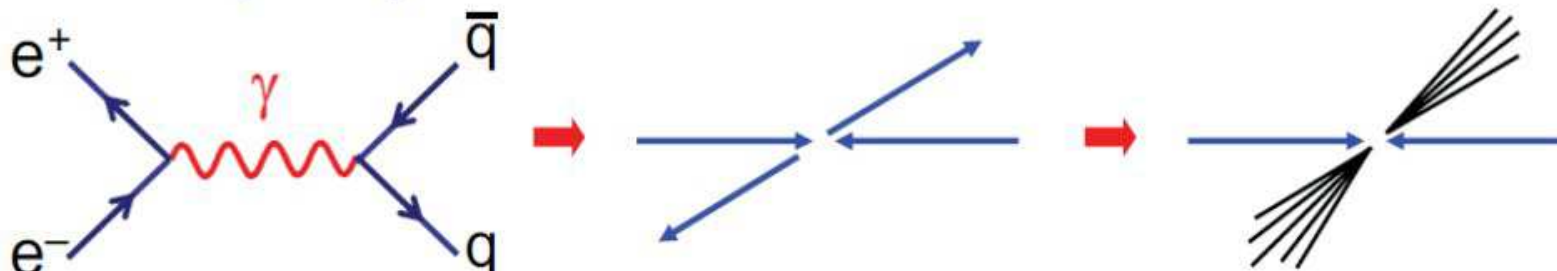


iv) Process continues until quarks pair up into jets of colourless hadrons



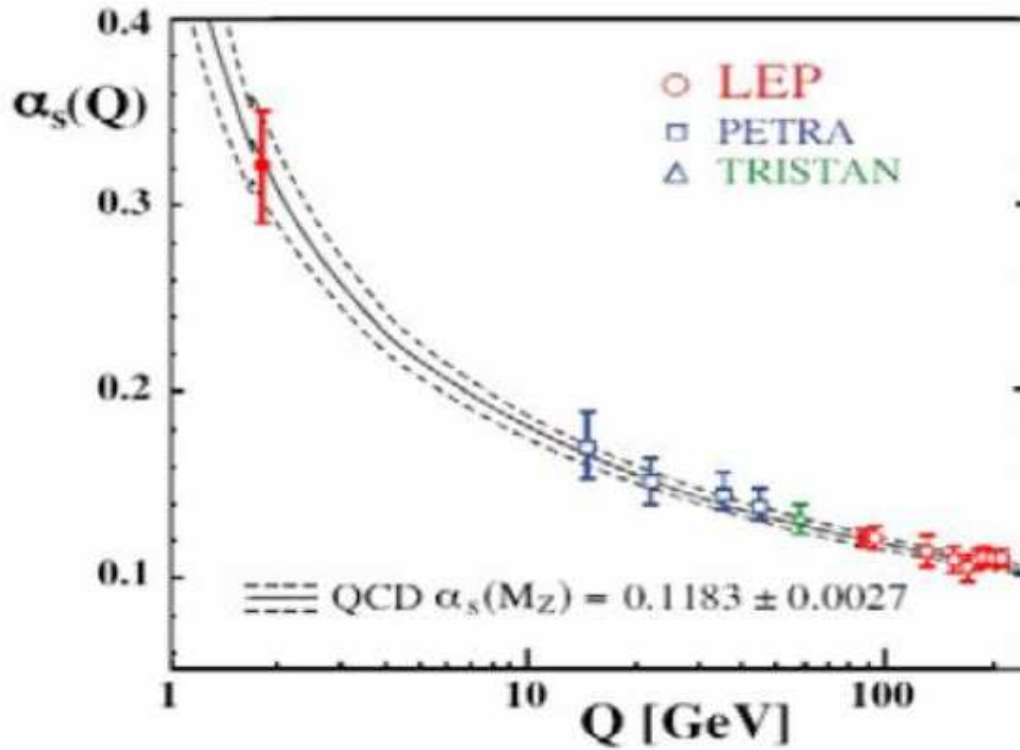
★ This process is called **hadronisation**. It is not (yet) calculable.

★ The main consequence is that at collider experiments quarks **and** gluons observed as jets of particles



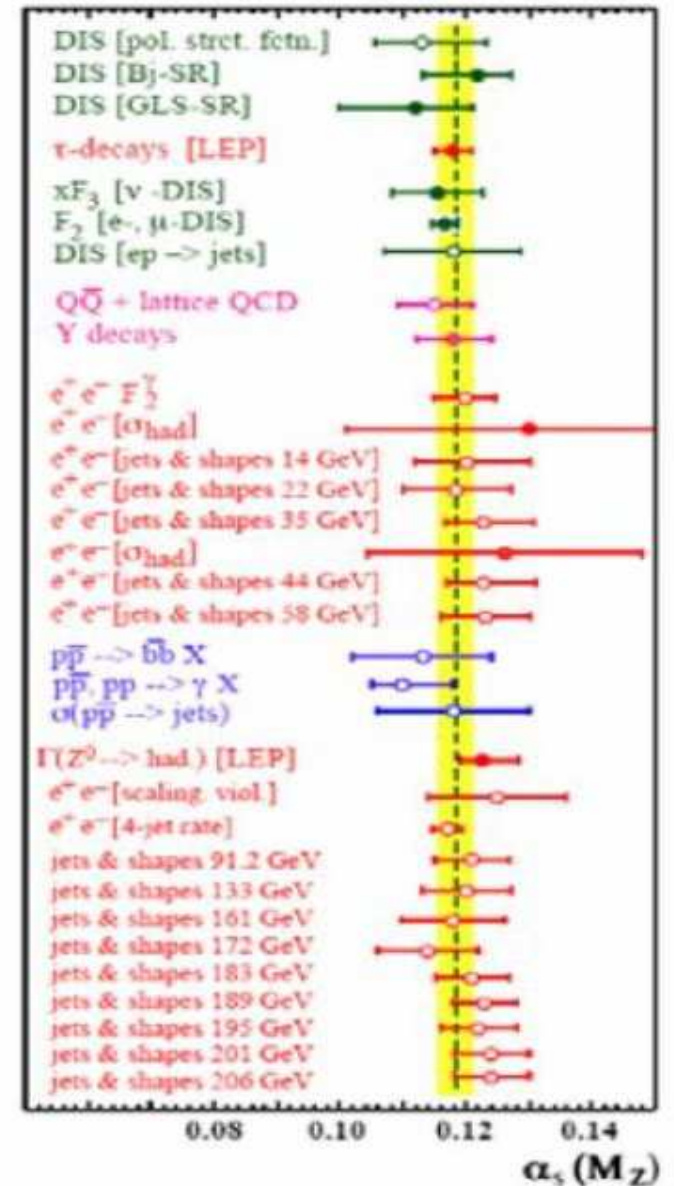
Laufende Kopplungskonstante der starken WW

$$\alpha_s(Q^2) = \frac{1}{\beta_0 \log(Q^2 / \Lambda_{QCD}^2)}$$

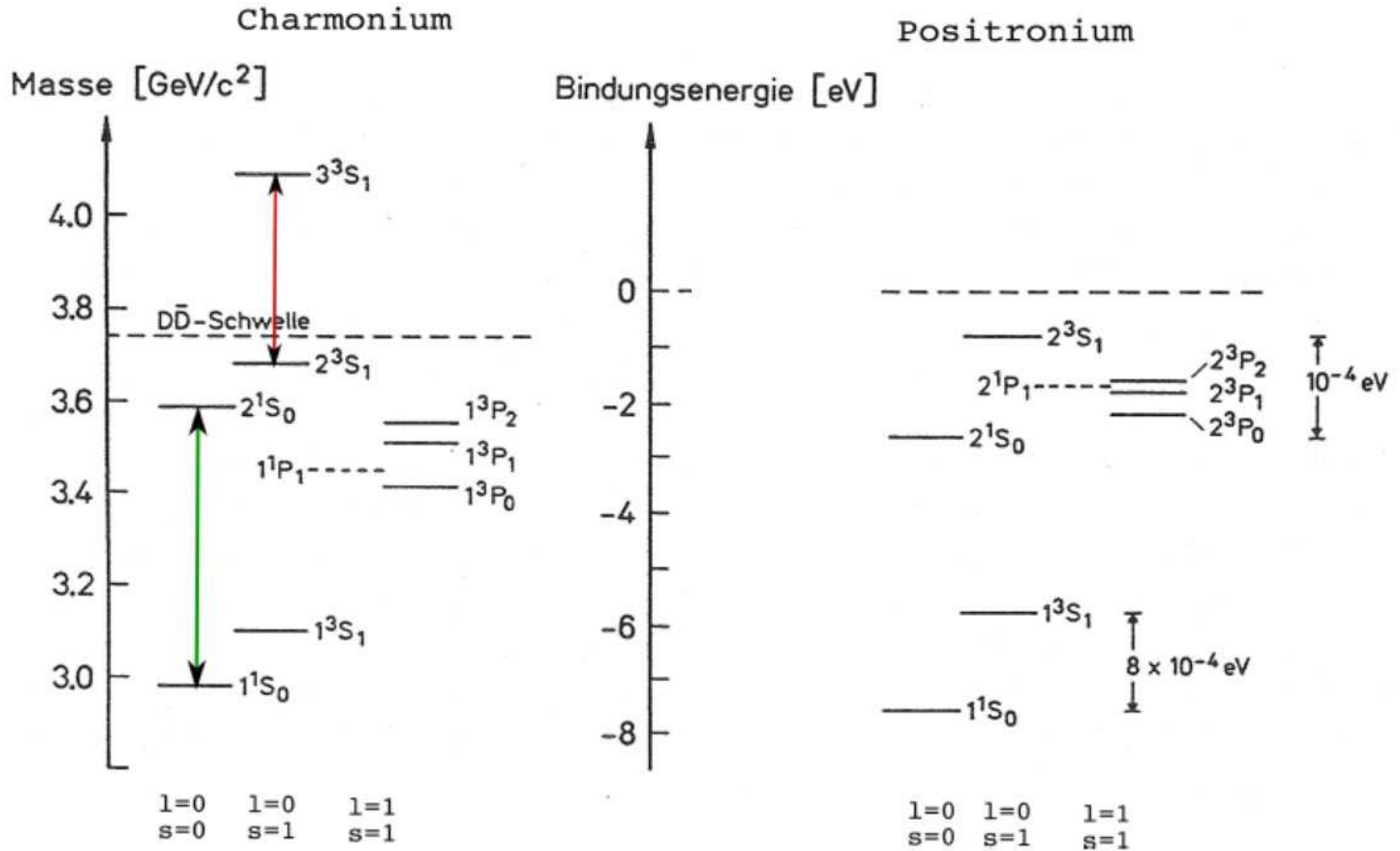


τ mass

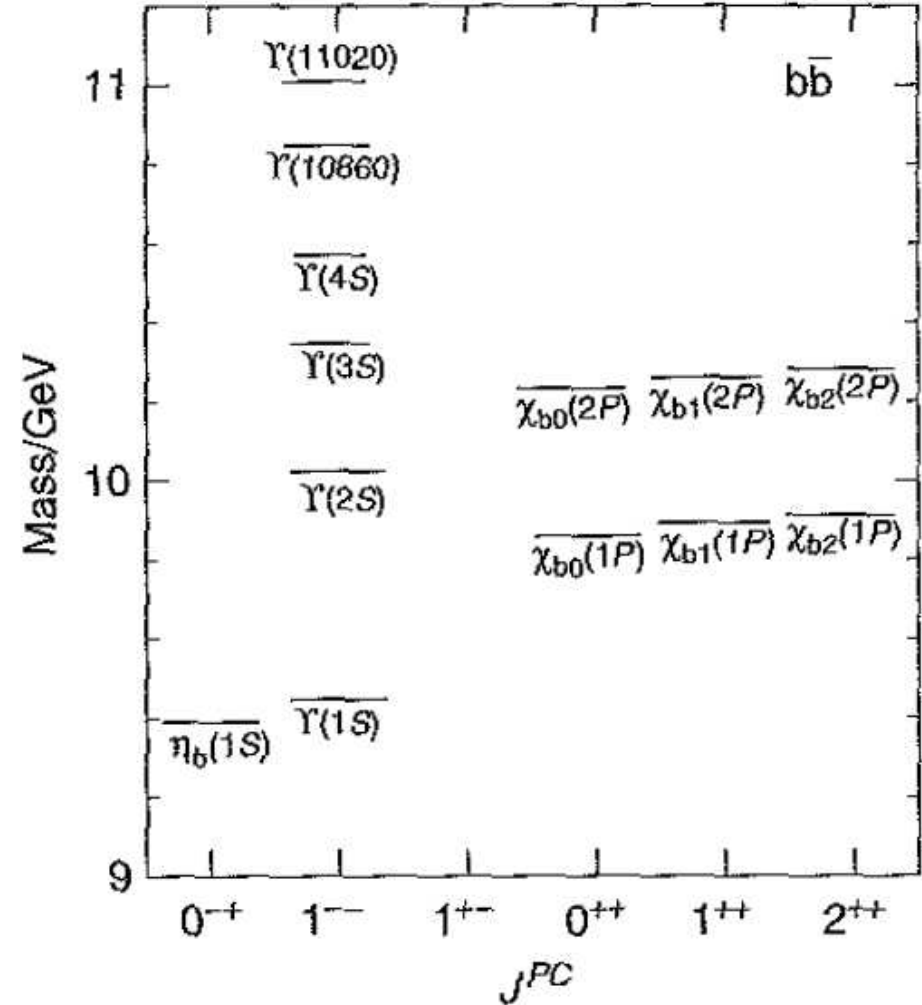
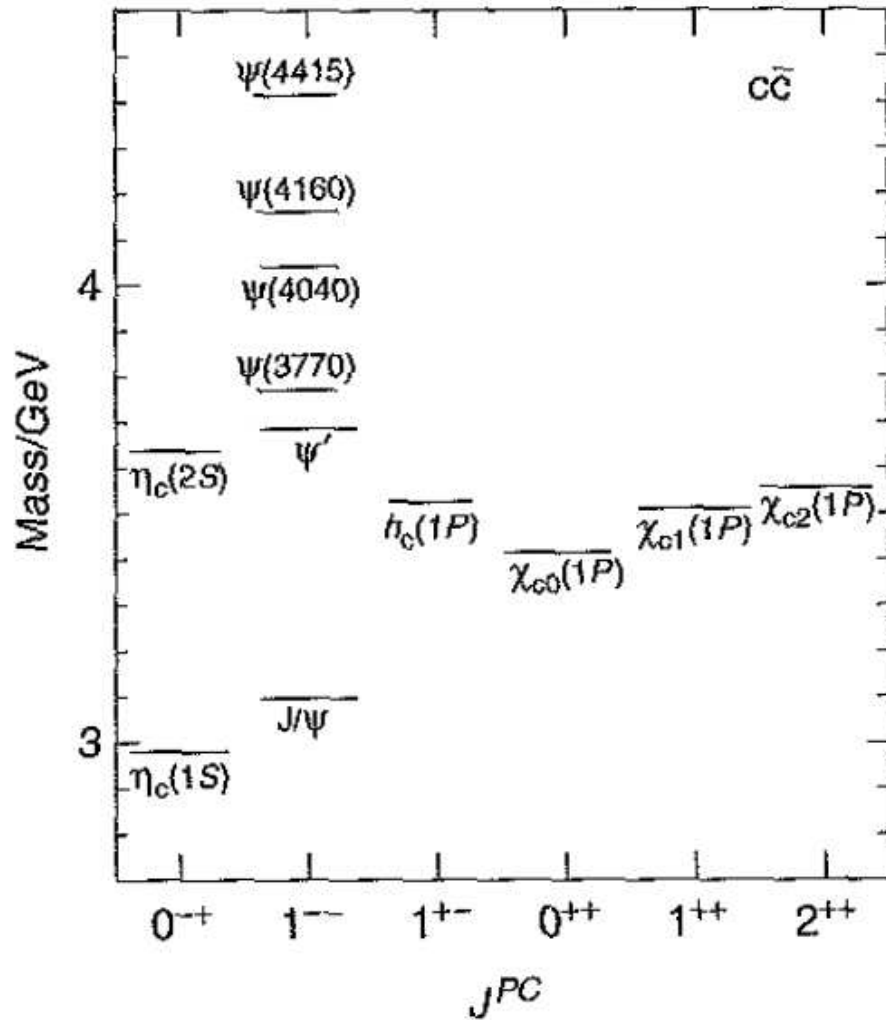
$\sim Z^0$ mass



Vergleich Charmonium + Positronium Potential



Vergleich Charmonium + Bottomonium



Unterschied zwischen Energieniveaus sehr ähnlich → starke WW ist flavour-blind!